



15-17 NOVEMBRE 2023

SFGM-TC
2023

Lille
Grand Palais



ALLOPIPE PROVIDES NEW INSIGHTS IN ALLOREACTIVITY AND RELATED IMMUNE PROCESSES



ROBERT KOCH INSTITUT



Adèle Dhuyser, AHU

Laboratoire d'histocompatibilité et d'immunogénétique – CHRU de Nancy



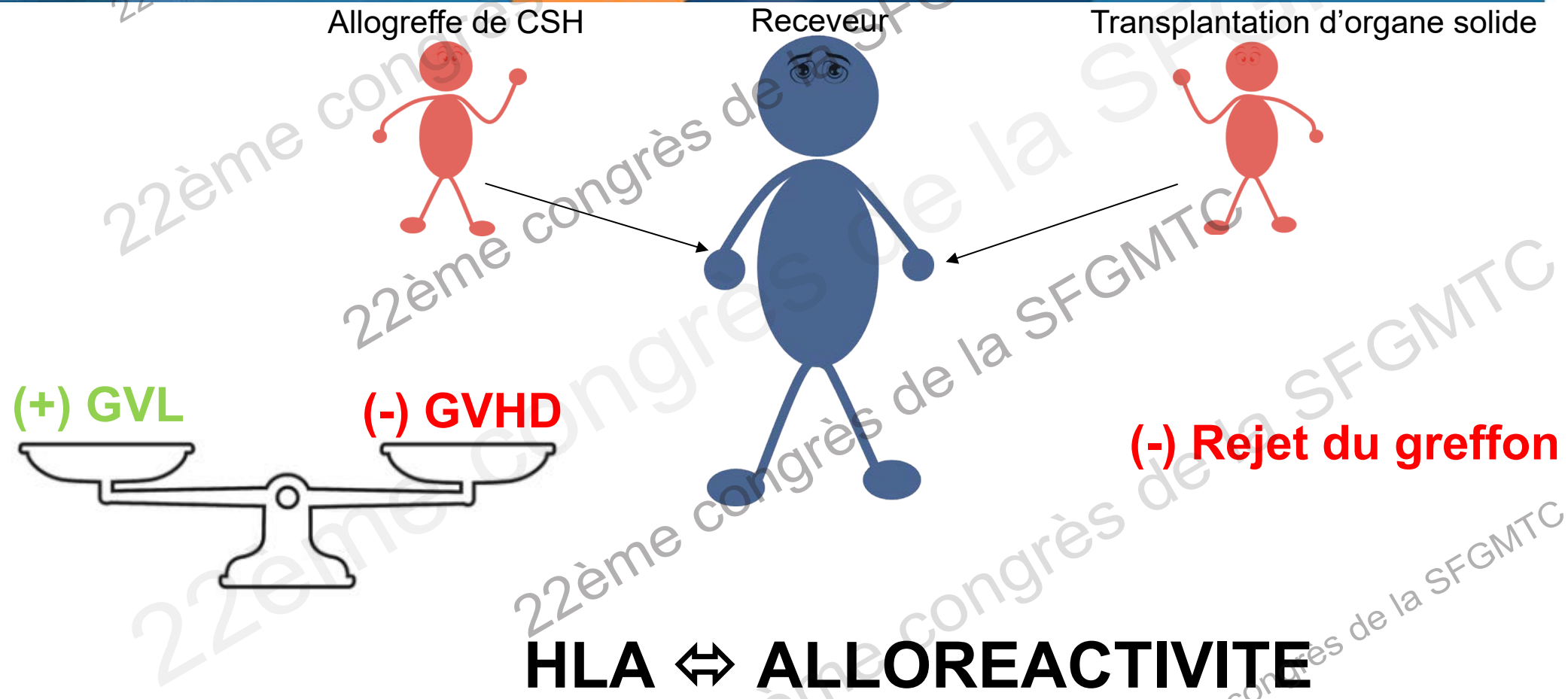
Je n'ai pas de lien d'intérêt potentiel à déclarer

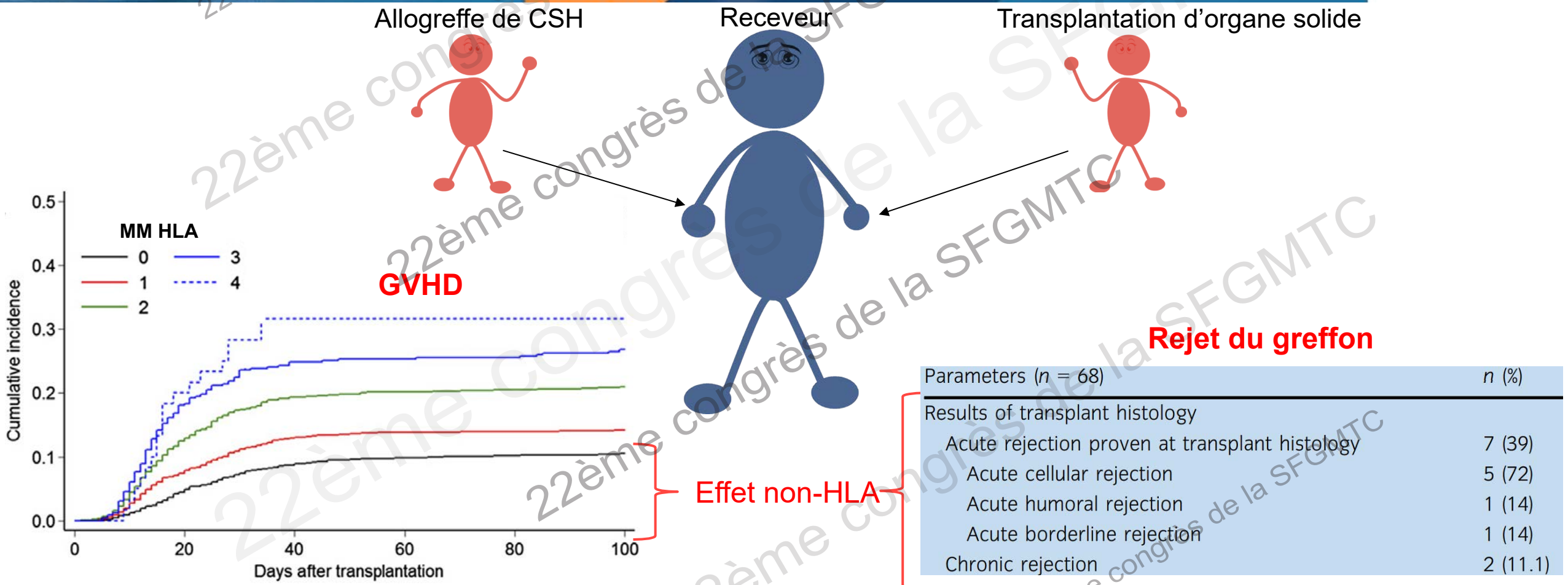
15-17 NOVEMBRE 2023

SFGM-TC
2023

Lille
Grand Palais







Cumulative incidence of grade III-IV aGVHD by the mismatch number of HLA-A, -B, -C, -DRB1_DQB1, and -DPB1 at the allele level in the GVH direction (1)

Acute and chronic rejection of HLA-identical living kidney transplantation recipients (2)



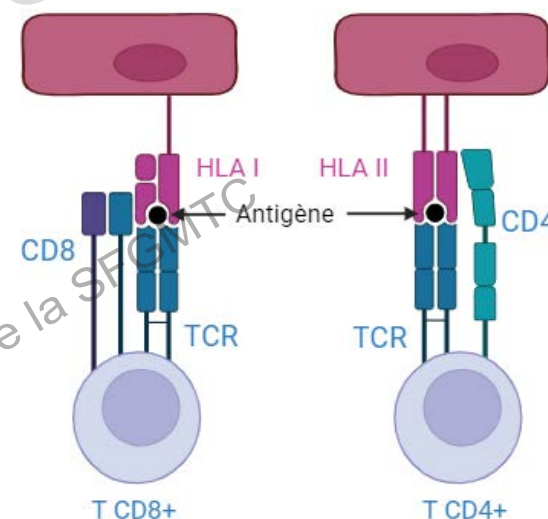
ALLOREACTIVITE : Effets non-HLA

Systèmes immunologiques en dehors du HLA

- KIR
- MICA/MICB
- ...

Minor histocompatibility antigens (mHAg)

Les lymphocytes T reconnaissent un antigène ssi il est enchassé dans une molécule HLA





15-17 NOVEMBRE 2023

SFGM-TC
2023

SFGM-TC
Société Francophone
de GREFFE DE MOELLE
et de Thérapie Cellulaire

ALLOREACTIVITE : Effets non-HLA

Systèmes immunologiques en dehors du HLA

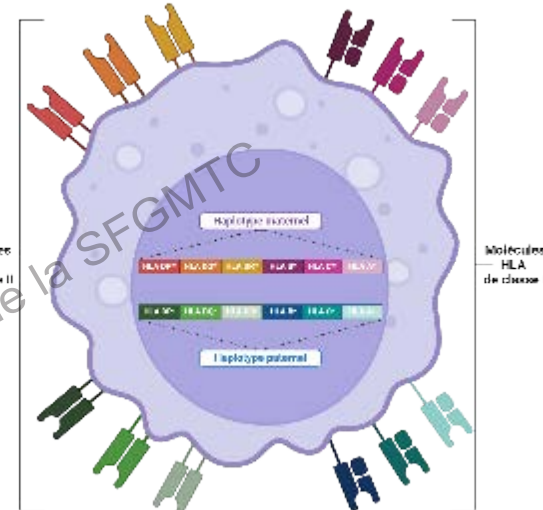
- KIR
- MICA/MICB
- ...

Minor histocompatibility antigens (mHAg)

Les lymphocytes T reconnaissent un antigène ssi il est enchassé dans une molécule HLA
L'ensemble des peptides présentés par l'ensemble des molécules HLA
constitue l'**immunopeptidome**



X



Molécules HLA de classe II

Molécules HLA de classe I

Implotype paternel



ALLOREACTIVITE : Effets non-HLA

Systèmes immunologiques en dehors du HLA

- KIR
- MICA/MICB
- ...

Minor histocompatibility antigens (mHAg)

Les lymphocytes T reconnaissent un antigène ssi il est encastré dans une molécule HLA

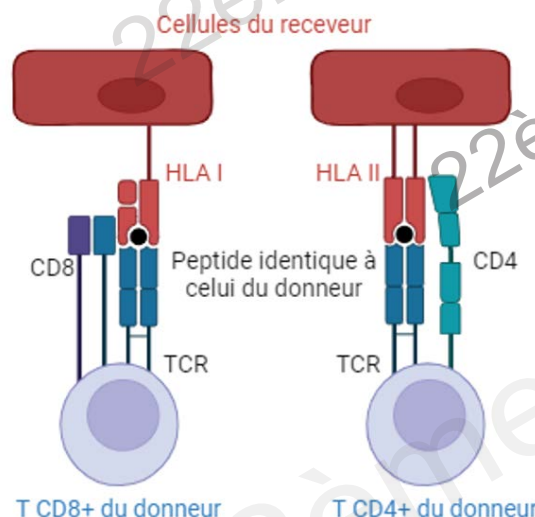
L'ensemble des peptides présentés par l'ensemble des molécules HLA
constitue l'**immunopeptidome**

La différence entre les immunopeptidomes de deux individus \Leftrightarrow mHAg



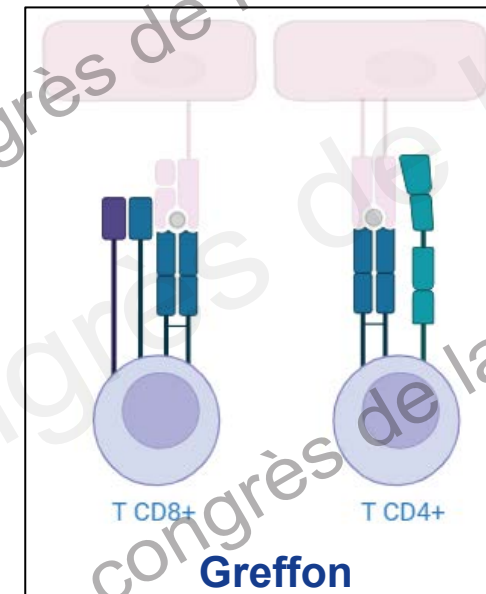
Allogreffe de CSH ⇔ conflit immunologique

Le donneur et le receveur ont le même peptide

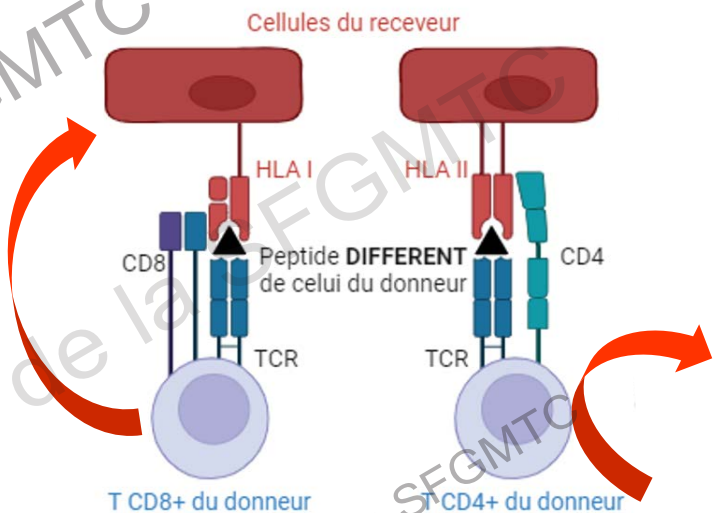


TOLERANCE (soi)

score = 0



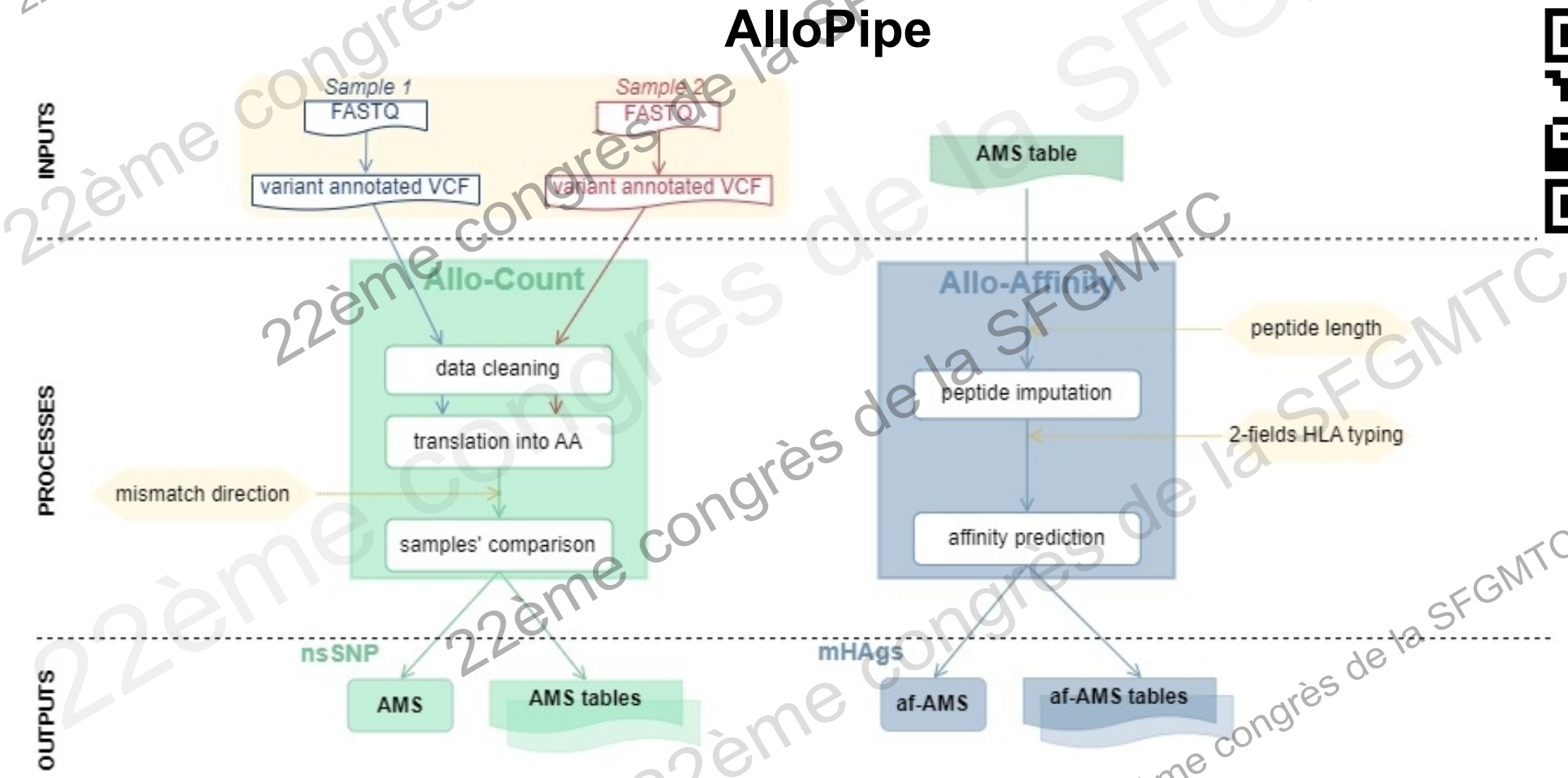
Le donneur et le receveur ont un peptide différent



ALLOREACTIVITE POTENTIELLE (non soi)

score = +1

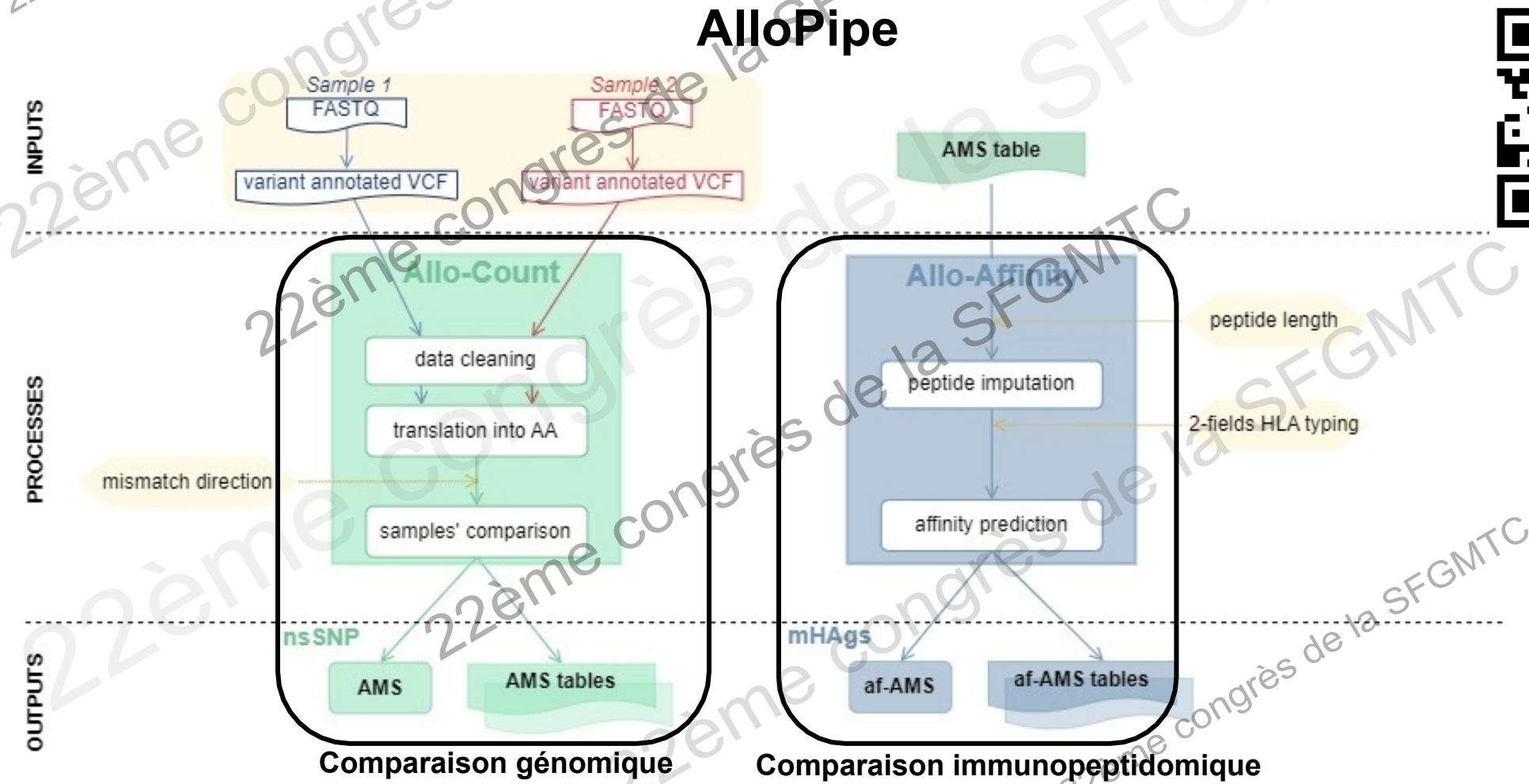
ALLOPIPE APPRECIÉ CETTE DIFFÉRENCE





15-17 NOVEMBRE 2023

SFGM-TC
2023



GitLab



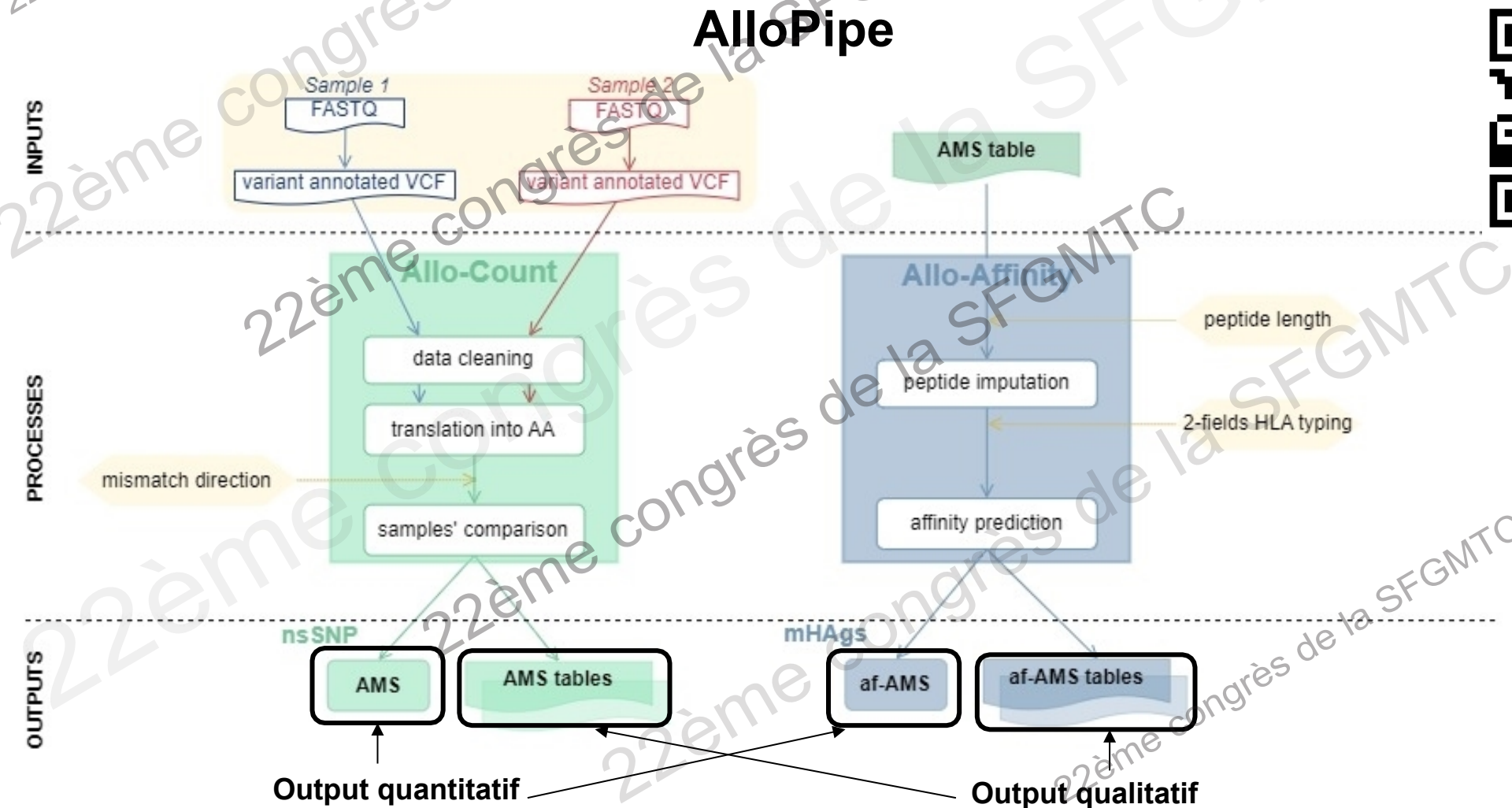
15-17 NOVEMBRE 2023

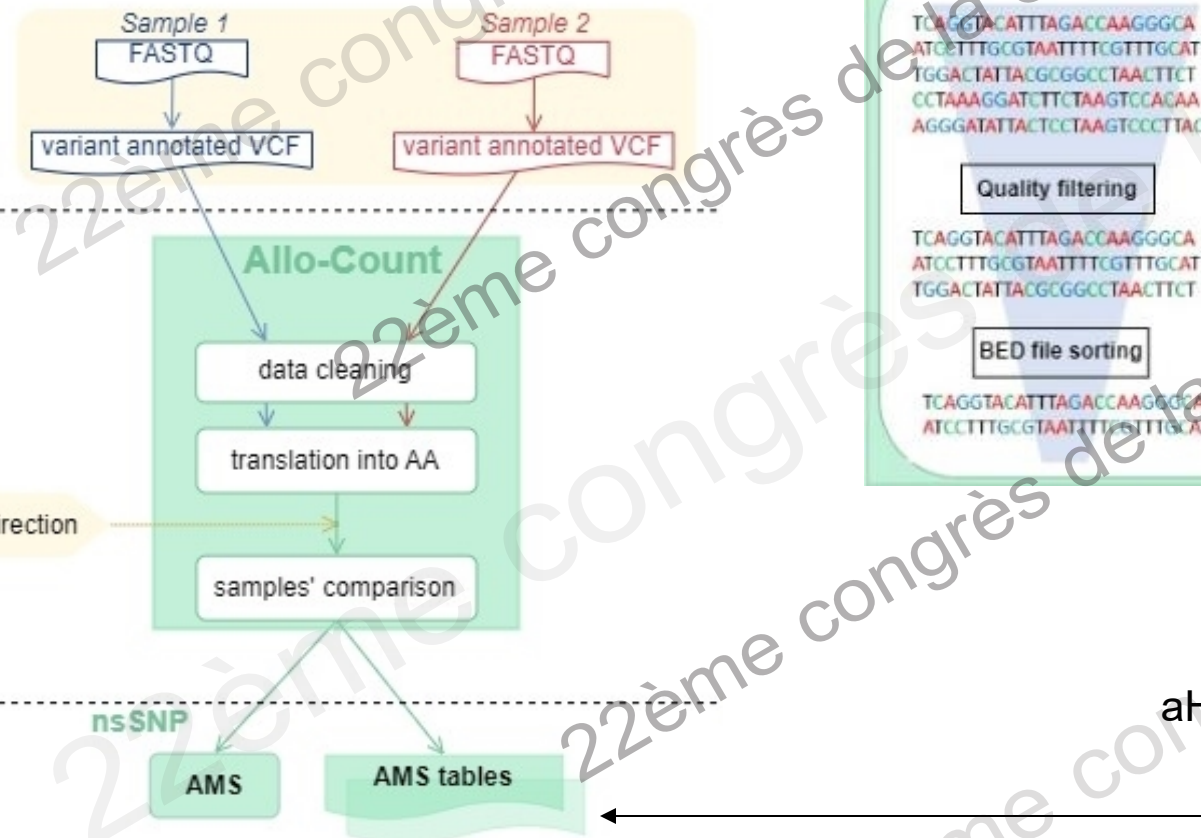
SFGM-TC
2023

SFGM-TC
Société Francophone
de GREFFE DE MOELLE
et de Thérapie Cellulaire



GitLab





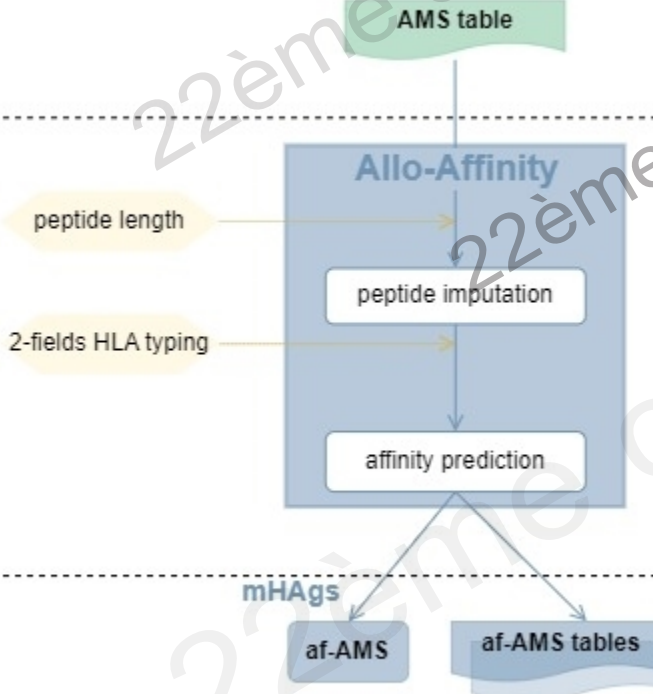
aHSCT

Samples' comparison

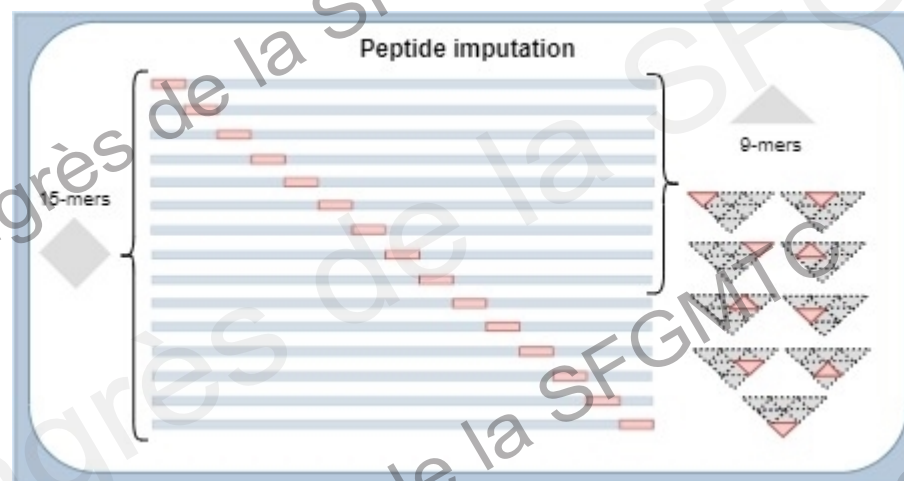
		Donor > Recipient		Recipient > Donor			
		0	1	0	1	0	1
Donor	0	0	1	0	0	0	0
	1	1	0	0	0	0	0
Recipient	0	0	1	0	0	1	0
	1	1	0	0	1	0	0
A	L	E	Ø	P	I	P	E
M	G	P	Ø	P	E		



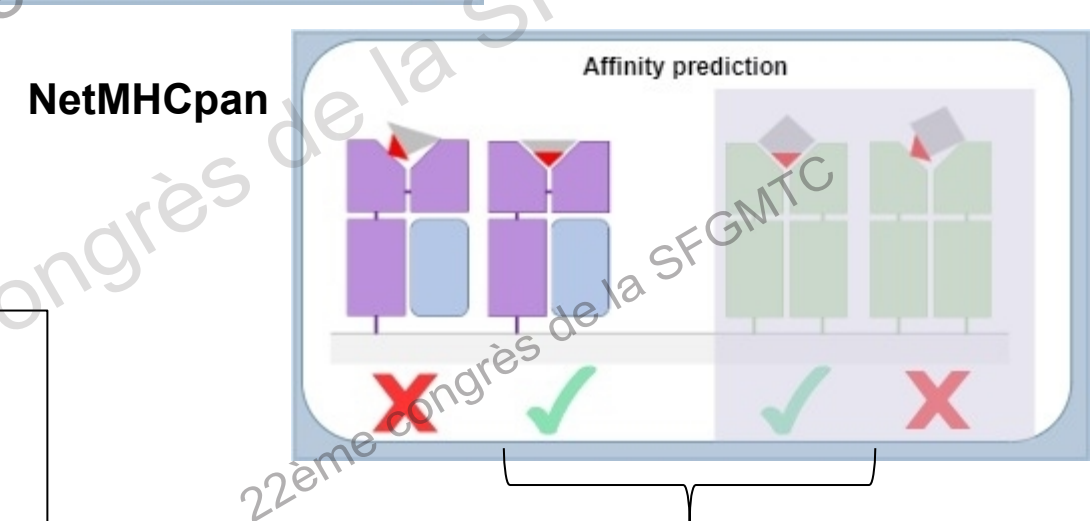
INPUTS



PROCESSES



OUTPUTS




 Lille
 Grand Palais

VCF informations		
CHROM	string	Chromosome of the variant
POS	int	Position on the chromosome
ID_{x, y}	string	Reference SNP cluster ID for the donor (x) or recipient (y)
REF, ALT	string	REF and ALT alleles at the given position
QUAL_{x, y}	float	Phred-scaled quality score for the assertion made in ALT
FILTER_{x, y}	string	PASS if this position has passed all filters
FORMAT_{x, y}	list	Format of the sample column post AlloPipe processing
Sample_{x, y}	string	Sample information regarding the position. Note that the column name is the one provided in the original VCF
Sample information		
GT_{x, y}	string	Predicted genotype of the sample
GQ_{x, y}	float	Score of quality of the predicted genotype
AD_{x, y}	string	Allelic depth
FT_{x, y}	string	Sample genotype filter indicating if this genotype was "called"
phased_{x, y}	string	Predicted genotype containing phased information (if provided in the sample column)
DP_{x, y}	int	Sequencing Depth at position
TYPE_{x, y}	string	Type of genotype (homozygous, heterozygous)
VEP information		
consequences_{x,y}	int	All the columns with a consequence with the number of times it is recorded in transcripts for the variant
transcripts_{x, y}	string	Transcripts recorded for the variant
genes_{x, y}	string	Genes recorded for the variant
aa_REF, aa_ALT	string	Amino-acid for REF and ALT alleles for the variant
gnomADe_AF_{x, y}	float	Frequency of existing variant in gnomAD exomes combined population
aa_ref_indiv_{x, y}, aa_alt_indiv_{x, y}	string	REF and ALT amino-acids recorded for the sample (x and y)
aa_indiv_{x, y}	string	REF and ALT amino-acids combined in one column
AlloPipe informations		
Diff	string	Difference between the amino-acids of both samples
Mismatch	int	Number of mismatches in the diff field
Mismatch_type	String	Type of mismatch (homozygous, heterozygous)

AMS table

NetMHCpan information

hla_peptides	String	Potential ligand peptide built from VEP information and Ensembl information
Gene_id	String	Ensembl Gene ID
NB	Int	Number of Weak Binding/Strong Binding peptides accross given HLA
EL-score	Float	Raw prediction score
EL_Rank	float	Rank of the predicted EL-score compared to a set of random natural peptides
BA-score	Float	Binding-Affinity score
BA_Rank	Float	Rank of the predicted BA-score
HLA	String	Specified MHC molecule / Allele name
Transcript_id	string	Ensembl Transcript ID
Peptide_id	string	Ensembl Peptide ID

af-AMS table



AU TOTAL, L'OUTIL ALLOPIPE:

- Est une ressource open-source
 - Langage python3: lisibilité et flexibilité
 - Disponible sur GitLab: faciliter la collaboration et les feedbacks
- Permet la comparaison de deux exomes sur le plan génomique et immunopeptidomique
 - Avec des outputs quantitatifs (scores) et qualitatifs (détails des composants du score)
- Applications potentielles
 - En transplantation (d'organes solides ou de CSH)
 - En immuno-oncologie



15-17 NOVEMBRE 2023



Equipe « AlloGenomics »

Pr Laurent Mesnard



**Institut
des sciences du calcul
et des données**
ALLIANCE SORBONNE UNIVERSITÉ

Dr Alice Aarnink



Pr Hugues Richard & Pierre Delaugère



Références

1. Biological significance of HLA locus matching in unrelated donor bone marrow transplantation, Morishima et al, Blood 2015
2. HLA-identical living related kidney transplantation: Outcomes of a national multicenter study, Bentata et al, International Journal of Urology 2022
3. Exome sequencing and prediction of long term kidney allograft function, Mesnard et al, PLOS Computational Biology 2016